

I-8 防波ウェル構造解析についての一考察

北海道大学工学部	正員	芳村 仁
北海道大学工学部	正員	董澤 審吉
北海道大学工学部	正員	三上 隆
北海道大学工学部	正員	佐々木 康彦
大成建設(株)	正員	井上 兆男

1. はじめに

海上に位置した発電所の取水施設を海底トンネル方式で行なう場合、取水口の到達立坑の施工は海上にジャネットを設置し、それよりリバースサーチュレーションドリル(大口径掘削機)にて立坑を削孔する工法がとられる。外海の波浪作用が厳しいのは波の影響からそれらを保護する目的で、図1のようにジャネットに直達防波ウェルを取り付けた。上記荷重条件下での防波ウェルの力学挙動は相当複雑になることが予想され、それらを定量的に明確にすることは設計上、重要なことと思われる。

本報告は、この種の荷重一構造系に対して、解析解法および有限要素法による解析を試み、併せて模型実験により解析手法の妥当性の検討を行なったものである。

2. 円筒シェルの解析解法

まず、Kirchhoff-Love の仮定に立脚した薄肉円筒シェルの微小変形理論における基本的関係式のいくつかを記しておく。円筒シェルと座標系の名記号および変位成分 U , U' , W の向きを図2に示す。なお、以下では簡単のため偏微分を次の様に書くものとする。 $(\cdot)_z \equiv (\cdot)/\partial(S/R)$, $(\cdot)_\theta \equiv (\cdot)/\partial\theta$

(広義の)歪-変位関係式:

$$\begin{aligned} \varepsilon_s &= U'/R, \quad \varepsilon_\theta = (U'' + W)/R, \quad \gamma_{s\theta} = (U' + U'')/R \\ \kappa_s &= -W''/R^2, \quad \kappa_\theta = -(W'' - U'')/R^2, \quad \kappa = -(2W'' - U'')/R^2 \end{aligned} \quad \left. \right\} \quad (1)$$

断面力・断面モーメント-変位関係式:

$$\begin{aligned} N_s &= (K/R)[U' + v(U'' + w)] \\ N_\theta &= (K/R)[(U'' + w) + vU'] \\ N_{s\theta} &= N_{\theta s} = \{(1-v)K/2R\}[U' + U''] \\ M_s &= -(D/R^2)[w'' + v(w'' - U'')] \\ M_\theta &= -(D/R^2)[(w'' - U'') + vW''] \\ M_{s\theta} &= M_{\theta s} = -\{(1-v)D/2R^2\}[2w'' - U''] \end{aligned} \quad \left. \right\} \quad (2) \quad (3)$$

ここで、 $K = Eh/(1-\nu^2)$, $D = Eh^3/12(1-\nu^2)$

なお、断面力・断面モーメントの正の方向・向きは、図2に示す。

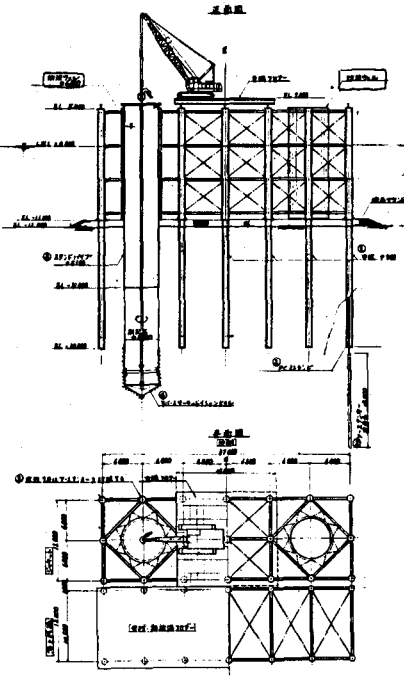


図1 ジャネットと防波ウェル

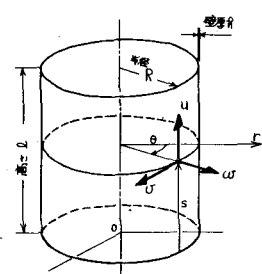


図2 円筒殻と座標系

釣合方程式：

$$\left. \begin{aligned} R(N_s' + N_{se}') + R^2 X &= 0 \\ R(N_\theta' + N_{se}') + (M_\theta' + M_{se}') + R^2 Y &= 0 \\ -RN_\theta + M_s'' + 2M_{se}'' + M_\theta'' + R^2 Z &= 0 \end{aligned} \right\} \quad \dots \dots \dots \quad (4)$$

基礎方程式：

$$\left. \begin{aligned} [U'' + (1-\nu)U'''/2 + (1+\nu)U''/2 + \nu W'] + (R^2/K)X &= 0 \\ [(1+\nu)U''/2 + (1-\nu)U'''/2 + U'' - W'] + (R^2/K)Y &= 0 \\ [vU' + U'' + W] + k[-U'' - U''' + W''' + 2W'''' + W'''''] - (R^2/K)Z &= 0 \end{aligned} \right\} \quad (5)$$

ここで、 $k = (\hbar/R)^3/12$

円筒シェルの静的解析は、与えられた境界条件を満足するように基盤方程式を解けばよい。しかし、基礎方程式は変位 U , U' , W に関する三元の連立偏微分方程式であり、これを数学的に厳密に解くことは非常に困難である。

ここでは、円筒シェルの解（一般解）を同次解と特解に分ける。同次解については、内周方向にフーリエ級数展開し；軸方向は近似基礎方程式から解析的に求めよ。特解については、内周方向・軸方向ともフーリエ級数展開し、2重フーリエ級数展開された荷重に対応する特解のフーリエ係数を、基礎方程式（既に近似化されていない式）から代数的に求めよ。このようにして得られた同次解と特解の和が一般解で境界条件を満足させ、円筒シェルの解を得る。

〈同次解〉 まず、近似基礎方程式を導く。釣合方程式(4)より、第2式の面外せん断力の項 ($R \cdot Q_\theta = M_\theta' + M_{se}'$) を無視し、 $X = Y = Z = 0$ とすると、

$$\left. \begin{aligned} \bar{N}_s' + \bar{N}_{se}' &= 0 \\ \bar{N}_\theta' + \bar{N}_{se}' &= 0 \\ -R\bar{N}_\theta + \bar{M}_s'' + 2\bar{M}_{se}'' + \bar{M}_\theta'' &= 0 \end{aligned} \right\} \quad \dots \dots \dots \quad (6)$$

となる。また、断面モーメント-変位関係式は、面内変位 U , U' 項を無視した式を用いる。

$$\left. \begin{aligned} \bar{M}_s &= -(D/R^2)[\bar{W}'' + \nu \bar{W}'''] \\ \bar{M}_\theta &= -(D/R^2)[\bar{W}'' + \nu \bar{W}'''] \\ \bar{M}_{se} &= \bar{M}_{se} = -(1-\nu)(D/R^2)\bar{W}'' \end{aligned} \right\} \quad \dots \dots \dots \quad (7)$$

近似釣合方程式(6)とこの(7)式を用いて各断面力を \bar{W} で表わすと、

$$\begin{aligned} \bar{N}_\theta &= -(kK/R)[\bar{W}'''' + 2\bar{W}''''' + \bar{W}'''''] \\ \bar{N}_{se}' &= -\bar{N}_{se}'' \\ &= (kK/R)[\bar{W}'''' + 2\bar{W}''''' + \bar{W}'''''] \\ \bar{N}_s'' &= -\bar{N}_{se}'' \\ &= -(kK/R)[\bar{W}'''' + 2\bar{W}''''' + \bar{W}'''''] \end{aligned} \quad \dots \dots \dots \quad \text{以上 (8)}$$

つぎに(2)式より円筒シェルの適合条件式を導くと次式となる。

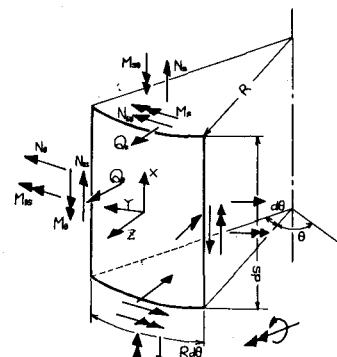


図3 断面力と断面モーメント

$$\begin{aligned} v\bar{N}_s'' - \bar{N}_s'' - \bar{N}_\theta'' + \nu \bar{N}_\theta'' + 2(1+\nu)\bar{N}_{se}'' \\ + (1-\nu^2)(K/R)\bar{W}''' = 0 \end{aligned} \quad \dots \dots \dots \quad (9)$$

この適合条件式に(8)式を代入して整理すると、次式が得られる。

$$D^4 D^4 \bar{W} + \frac{(1-\nu^2)}{K} \bar{W}''' = 0 \quad \dots \dots \dots \quad (10)$$

ここで、 $D^4(\) = ((\)'' + (\)''')^2$

この(10)式が 近似基礎方程式 であり、 \bar{W} に関する8階の微分方程式となる。

この近似基礎方程式を解き、同次解を求める。内周方向にフーリエ級数展開し、軸方向には解析解を用いる。まず、 \bar{W} については

$$\bar{W} = \sum_n H e^{j\beta_n \theta} \cos n\theta \quad \dots \dots \dots \quad (11)$$

とおくと、 θ に関して基礎式(10)を満足する。

ここで、 $\beta = S/R$, H : 未定定数(積分定数)

(11)式を(10)式に代入し、入に関する8階の特性方程式より8ヶの入を決定すると、 \bar{W} は次のように得られる。

$$\begin{aligned} \bar{W} &= \sum_n \left[(A_0 \cos \beta_1 \theta + B_0 \sin \beta_1 \theta) e^{\alpha_1 \theta} \right. \\ &\quad + (C_0 \cos \beta_2 \theta + D_0 \sin \beta_2 \theta) e^{\alpha_2 \theta} \\ &\quad + (E_0 \cos \beta_3 \theta + F_0 \sin \beta_3 \theta) e^{\alpha_3 \theta} \\ &\quad \left. + (G_0 \cos \beta_4 \theta + H_0 \sin \beta_4 \theta) e^{-\alpha_4 \theta} \right] \cos n\theta \quad \dots \dots \dots \quad (12) \end{aligned}$$

ここで、 $A_0 \sim H_0$:未定定数

$$\alpha_{1,2} = (\mu \pm \sqrt{\mu^4 + 16n^4 + 4n^2}) / 2\sqrt{2}$$

$$\beta_{1,2} = (\mu \pm \sqrt{\mu^4 + 16n^4 - 4n^2}) / 2\sqrt{2}$$

$$\mu^4 = (1-\nu^2)/k \quad \dots \dots \text{以上(13)}$$

今、円筒シェルの両端 ϑ の境界条件が同じ ϑ 、さらに軸方向の荷重分布がシェルの高さ z の中央点に集中して作用する場合を考える。軸方向空隙比 $\lambda = (S/R)$ の原点を z の中央点に取ると、この場合 $\bar{W}(\vartheta) = \bar{W}(-\vartheta)$ が成立するので、(12)式の未定定数項には次の関係が存在する。

$$A_0 = E_0, \quad B_0 = -F_0, \quad C_0 = G_0, \quad D_0 = -H_0$$

したがって、

$$\begin{aligned} \bar{W}_1 &= \sum_n \left[(A_0 \cos \beta_1 \vartheta + B_0 \sin \beta_1 \vartheta) e^{i\beta_1 \vartheta} \right. \\ &\quad \left. + (C_0 \cos \beta_2 \vartheta + D_0 \sin \beta_2 \vartheta) e^{i\beta_2 \vartheta} \right] \cos n\theta \end{aligned} \dots \dots (14)$$

と置くと、(12)式は

$$\bar{W} = \bar{W}_1 + \bar{W}_2 \dots \dots (15)$$

で表わされる。ただし、

$$\bar{W}_2(\vartheta) = \bar{W}_1(-\vartheta) \dots \dots (16)$$

すなはち、(12)式の $\bar{W}(\vartheta)$ は、(14)式に $\vartheta = -\vartheta$ を代入して値を $\vartheta = -\vartheta$ を代入した値の和で得られる。

この \bar{W}_1 に対応する断面力・断面モーメント等は、(14)式を(7), (8)式に代入し適宜微分・積分を行なって求められる。

つぎに、 \bar{W}_2 に対する断面力・断面モーメント等を考える。 \bar{W}_1, \bar{W}_2 の ϑ による m 階の導関数を $\bar{W}_1^{(m)}, \bar{W}_2^{(m)}$ と表わすと、(14), (16)式より次の関係が成立する。

$$\bar{W}_2^{(m)}(\vartheta) = (-1)^m \bar{W}_1^{(m)}(-\vartheta) \dots \dots (17)$$

\bar{W}_1, \bar{W}_2 に対する断面力等に添字 1, 2 を付けて表わすと、(17)式の関係より、たとえば

$$\begin{aligned} \bar{N}_{\theta_2}(\vartheta) &= -(kK/R) [\bar{W}_2'''(\vartheta) + 2\bar{W}_2''(-\vartheta) + \bar{W}_2'(-\vartheta)] \\ &= -(kK/R) [\bar{W}_1'''(-\vartheta) + 2\bar{W}_1''(-\vartheta) + \bar{W}_1'(-\vartheta)] \\ &= \bar{N}_{\theta_1}(-\vartheta) \end{aligned}$$

$$\begin{aligned} \bar{M}_{S\theta_2}(\vartheta) &= -(1-\nu)(D/R^2) [\bar{W}_2''(\vartheta)] \\ &= -(1-\nu)(D/R^2) [-\bar{W}_1''(-\vartheta)] \\ &= -\bar{M}_{S\theta_1}(-\vartheta) \end{aligned}$$

となる。すなはち、 \bar{W} の ϑ による偶数階の導関数よりなる量は、

$$\bar{N}_{\theta_2}(\vartheta) = +\bar{N}_{\theta_1}(-\vartheta), \quad \bar{N}_{\theta_1}(\vartheta) = +\bar{N}_{\theta_2}(-\vartheta),$$

$$\bar{M}_{S\theta_2}(\vartheta) = +\bar{M}_{S\theta_1}(-\vartheta), \quad \bar{M}_{S\theta_1}(\vartheta) = +\bar{M}_{S\theta_2}(-\vartheta)$$

で得られるのに對し、 \bar{W} の ϑ による奇数階の導関数よりなる量は、

$$\bar{N}_{\theta_2}(\vartheta) = -\bar{N}_{\theta_1}(-\vartheta), \quad \bar{M}_{S\theta_2}(\vartheta) = -\bar{M}_{S\theta_1}(-\vartheta)$$

となることがわかる。これにより、以上の関係に注意の上、断面力・断面モーメントの同次解は \bar{W}_1 に對応する部分だけ計算するとよいことになる。

この様にして得られた断面力・断面モーメントの同次解の一例を示す。

$$\begin{aligned} \bar{N}_s &= \mu^2 k (K/R) \sum_n n^2 \left[-\bar{\Phi}_s^1(\vartheta) \cdot A_0 + \bar{\Phi}_s^1(\vartheta) \cdot B_0 \right. \\ &\quad \left. + \bar{\Phi}_s^2(\vartheta) \cdot C_0 + \bar{\Phi}_s^2(\vartheta) \cdot D_0 \right] \cos n\theta \end{aligned}$$

$$\begin{aligned} \bar{M}_s &= (D/4R^2) \sum_n \left[\{a \bar{\Phi}_s^1(\vartheta) + b \bar{\Phi}_s^1(\vartheta)\} \cdot A_0 \right. \\ &\quad \left. + \{-b \bar{\Phi}_s^1(\vartheta) + a \bar{\Phi}_s^1(\vartheta)\} \cdot B_0 \right. \\ &\quad \left. + \{c \bar{\Phi}_s^2(\vartheta) + d \bar{\Phi}_s^2(\vartheta)\} \cdot C_0 \right. \\ &\quad \left. + \{-d \bar{\Phi}_s^2(\vartheta) + c \bar{\Phi}_s^2(\vartheta)\} \cdot D_0 \right] \cos n\theta \end{aligned}$$

ここで、

$$\bar{\Phi}_c^{1,2}(\vartheta) = 2 \cosh \lambda_{1,2} \vartheta \cos \beta_{1,2} \vartheta$$

$$\bar{\Phi}_s^{1,2}(\vartheta) = 2 \sinh \lambda_{1,2} \vartheta \sin \beta_{1,2} \vartheta$$

$$a = [-4(1-\nu)n^2 - (\varphi - \psi)\mu]$$

$$b = [2\mu^2 + (\varphi + \psi)\mu]$$

$$c = [-4(1-\nu)n^2 + (\varphi - \psi)\mu]$$

$$d = [2\mu^2 - (\varphi + \psi)\mu]$$

$$\varphi = (\sqrt{\mu^4 + 16n^4} + 4n^2)^{1/2}$$

$$\psi = (\sqrt{\mu^4 + 16n^4} - 4n^2)^{1/2}$$

〈解説〉 基礎方程式(5)を用いて解説を求める。まず、荷重を次のように2重フーリエ級数に展開する。

$$\begin{cases} X = \sum_m \sum_n X_{mn} \cos \lambda \vartheta \cos n\theta \\ Y = \sum_m \sum_n Y_{mn} \sin \lambda \vartheta \sin n\theta \\ Z = \sum_m \sum_n Z_{mn} \sin \lambda \vartheta \cos n\theta \end{cases} \dots \dots (18)$$

変位につれても同様に

$$\tilde{U} = \sum_m \sum_n \tilde{U}_{mn} \cos \lambda \vartheta \cos n\theta$$

$$\tilde{V} = \sum_m \sum_n \tilde{V}_{mn} \sin \lambda \vartheta \sin n\theta \dots \dots (19)$$

$$\tilde{W} = \sum_m \sum_n \tilde{W}_{mn} \sin \lambda \vartheta \cos n\theta$$

ここで、 $\lambda = m\pi R/l$ 。この式を基礎方程式(5)に代入して次式を得る。

$$\begin{bmatrix} A_{11} & A_{12} & A_{13} \\ A_{21} & A_{22} & A_{23} \\ A_{31} & A_{32} & A_{33} \end{bmatrix} \begin{bmatrix} \tilde{U}_{mn} \\ \tilde{V}_{mn} \\ \tilde{W}_{mn} \end{bmatrix} = \frac{R^2}{K} \begin{bmatrix} X_{mn} \\ Y_{mn} \\ Z_{mn} \end{bmatrix} \dots \dots (20)$$

$$\begin{aligned} A_{11} &= \lambda^2 + (1-\nu) n^2 / 2, \quad A_{12} = A_{21} = -(1+\nu) \lambda n / 2, \\ A_{13} = A_{31} &= -\nu \lambda, \quad A_{22} = (1-\nu)(1+\nu) \lambda^2 / 2 + (1+\nu) n^2, \\ A_{23} = A_{32} &= N[1+k(\lambda^2+n^2)], \quad A_{33} = 1+k(\lambda^2+n^2)^2. \end{aligned}$$

この三元連立方程式(20)から \tilde{U}_{mn} , \tilde{V}_{mn} , \tilde{W}_{mn} たゞが、2, 3解 \tilde{U} , \tilde{V} , \tilde{W} が求められる。断面力・断面モーメント等の解も、ここでは求められず、位を各関係式に代入すると得られる。たとえば、

$$\begin{aligned} \tilde{N}_s &= (K/R) \sum_m \sum_n [-\lambda \tilde{U}_{mn} + \nu(n \tilde{V}_{mn} + \tilde{W}_{mn})] \sin m \theta \cos n \theta \\ \tilde{M}_s &= (\nu D/R^3) \sum_m \sum_n [\nu n \tilde{V}_{mn} + (\lambda^2 + \nu n^2) \tilde{W}_{mn}] \sin m \theta \cos n \theta \end{aligned}$$

<一般解> 円筒シェルの一端解は、以上の4つの未定定数を含む。(一般には8つの未定定数を含むが、ここでは端部の境界条件から1つが、さらに軸方向荷重分布が円筒シェルの中央断面に関する対称の場合を考えているので4つとなる。) この4つの未定定数は、円筒シェルの一端の境界条件より決定される。

3. 有限要素法による解法

ここでは用いた有限要素法は、図4に示す円筒要素を使い荷重および変位を軸方向(θ方向)にフーリエ級数展開する方法である。つまり、荷重の分布を、軸方向にフーリエ級数展開し、θの三角関数で表わされる波形の和と考える。各々の波形についには、荷重分布とこれに対する変位・断面力の分布形が同じ形の波形が表わされるから、それらのピーク値の対応づけが全体の変位・断面力分布が得られる。

ここでは、剛性マトリックス、等価荷重の説明手順の詳細は省略するが、要素内の軸方向変位分布は面内変位 u および v は1次式、 w は3次多項式を用い、歪-変位関係式および断面力・断面モーメント-変位関係式は、2. 円筒シェルの解析解法述べた(1), (2)と(3)式を用いて導出した。

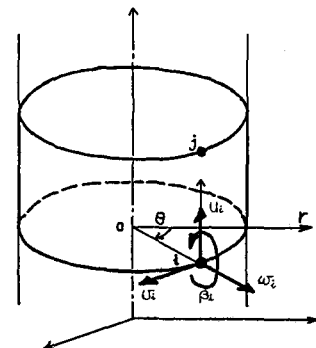


図4 円筒要素モデル

4. 解析結果(解析解と有限要素解の比較)

高さ方向5m間隔で支持されている防波ウェルの部分を取り出し、波圧を受ける両端固定の円筒シェルにモデル化し解析を行なう。その断面諸元等は、

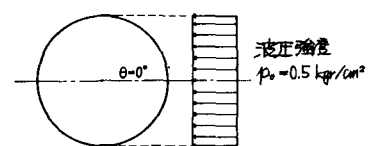
$$l = 5.0 \text{ m}, \quad R = 3.0 \text{ m}, \quad h = 2.0 \text{ m}$$

$$E = 2.1 \times 10^6 \text{ kgr/cm}^2, \quad \nu = 0.3 \quad \text{である。}$$

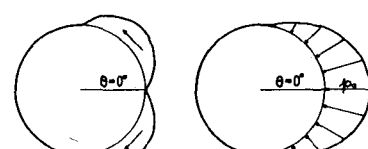
ウェルに作用する波圧は相当複雑になると予想されるが、ここでは軸方向および直径上に等分布する波圧(図5(a)参照)が作用する場合を想定した。図5(b), (c)は(a)の標準方向、半径方向の波圧成分を示している。なお、計算に用いた波圧強度は $p_0 = 0.5 \text{ kgr/cm}^2$ である。

解析解法における荷重のフーリエ級数展開項数(m, n)は、最終値に対する誤差が 0.1 % となるに必要な項数までとった。有限要素法は、固定端近傍の応力状態を考慮して 80 等分

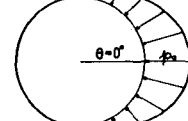
割りし、フーリエ級数の展開項数は 30 項程度で十分収束しているが、本報告では 40 項で計算した。両手法とも、境界条件は $U = U' = W = \partial W / \partial S = 0$ である。



(a) 円周方向波压分布



(b) 円周標準方向成分



(c) 半径方向成分

図5 波压分布

得られた計算結果は、解析解および有限要素解と良く一致し、グラフ上との差を明確にすることはできないので、表1に両者の数値の比較を示す。

変位 W 、断面力 (N_s, N_o) および断面モーメント (M_s, M_o) の軸方向・円周方向分布状況を図6～図10に示す。各図からわかるように、円周方向分布はかなり複雑な形状を示しているが、正・負値のピーカーが N_o を除くいずれの場合にも $\theta = 0^\circ, 75^\circ$ に現われている。このことより、上記荷重条件下における変位・応力挙動の大きな特徴と思われる。

以上の解析で明らかのように、解析解と、有限要素法とも実用上十分な精度で一致しており、通常構造物のような複雑な荷重・構造系に対しても適切なモデル化を行なうことにより、その解析が可能なものと思われる。

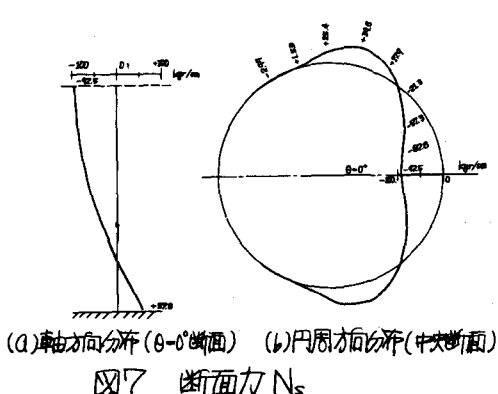
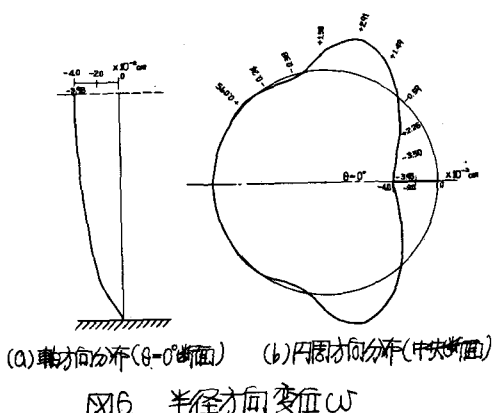


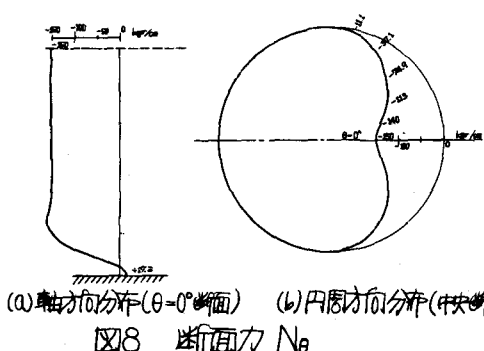
表1 解析解と有限要素解の比較

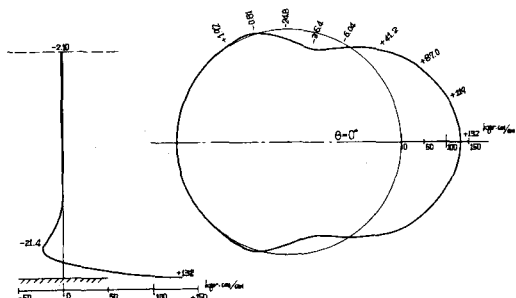
$\theta = 0^\circ$ 断面での水平変位 W の比較

中央断面 からの距離 m	水平変位 W , cm	
	解析解 $\times 10^2$	有限要素解 $\times 10^2$
0.00	-3.9800	-3.9794
0.25	-3.9495	-3.9489
0.50	-3.8584	-3.8578
0.75	-3.7074	-3.7068
1.00	-3.4976	-3.4970
1.25	-3.2309	-3.2304
1.50	-2.9187	-2.9182
1.75	-2.5837	-2.5833

$\theta = 0^\circ$ 断面での断面モーメント M_s の比較

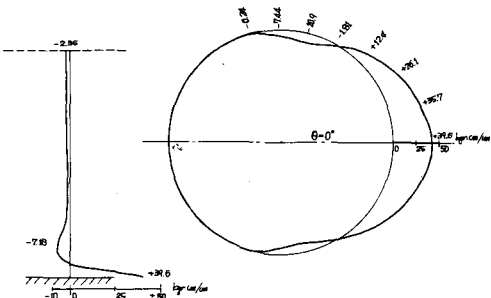
中央断面 からの距離 m	断面モーメント M_s kg·cm/cm	
	解析解 $\times 10$	有限要素解 $\times 10$
0.00	-0.2075	-0.2098
0.50	-0.1995	-0.2046
1.00	-0.1917	-0.1929
1.50	-0.0819	-0.0849
1.875	-0.5795	-0.5757
2.00	-1.3198	-1.3188
2.125	-2.0972	-2.1416
2.25	-1.8260	-1.8746
2.375	2.0746	2.0422
2.50	13.214	13.095





(a) 軸方向分布 ($\theta=0^\circ$ 断面) (b) 内圧分布(底面)

図9 断面モード M_5



(a) 軸方向分布 ($\theta=0^\circ$ 断面) (b) 内圧分布(底面)

図10 断面モード M_6

5. 模型実験

ここでは、有限要素法による理論値の妥当性を検証するためにひずみ測定実験を行なったので、以下これについて述べる。

試験体(防波ウェル部分)は実構造物のほぼ $1/12$ サイズの諸元による。長さ $l = 42\text{cm}$, 半径 $R = 25\text{cm}$, 厚さ $t_h = 0.16\text{cm}$ であり、ウェルの両端より $1\text{m} \times 1\text{m} \times 9\text{mm}$ の鋼板に密着により固定されている。図11にその側面図を示す。荷重状態としては、軸方向および円周方向に等分布荷重が載荷された場合を想定した(図11参照)。載荷システムは、試験体、ゲルト、油圧ジャッキ、ロードセルより構成されており、荷重の検出はロードセルによった。防波ウェル外表面42箇所にひずみゲージを貼付し、軸方向および円周方向ひずみの測定を行なった。

表2に代表的な数点のひずみ値を有限要素解との比較で示す。有限要素法の計算は両端固定とし、80等分割、荷重履歴回数は30である。表は $\theta = 75^\circ, 105^\circ$ ($\theta = 0^\circ$ 取り方は図11参照)、長さ方向中央点における軸方向ひずみ ε_x と円周方向ひずみ ε_θ を示したものである。ただし、()内の値が有限要素法による結果である。表からわかるように、計算値は実験値と十分よく一致しており、ほぼ満足すべき結果が得られた。

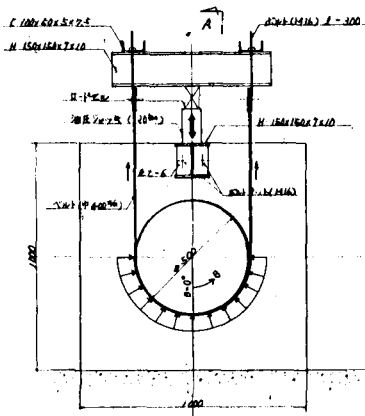


図11 試験体側面図

表2 実験値と理論値(有限要素法)の比較

載荷荷重 (t)	$\theta = 75^\circ$ (内側)		$\theta = 105^\circ$ (内側)		$\theta = 105^\circ$ (外側)	
	ε_x	ε_θ	ε_x	ε_θ	ε_x	ε_θ
0.85	-45(-41)	56(38)	52(43)	-88(-93)	70(59)	54(59)
1.00	-53(-49)	66(45)	62(50)	-105(-110)	83(70)	63(70)
1.26	-67(-61)	82(57)	77(63)	-132(-138)	104(88)	79(87)
1.50	-75(-73)	97(68)	90(75)	-159(-165)	121(105)	94(105)
2.00	-104(-97)	106(90)	120(100)	-209(-219)	162(139)	122(139)

-: 圧縮, $\times 10^6$

6. おまけ

この種の荷重を受ける円筒シェル構造の解析と模型実験により設計上の一指針が得られたと思う。なお、大規模模型実験などにより、そのモデル化の妥当性の確認があれば一層合理的なものとなる。

参考文献

- 1) 西村敏雄: ベクトルとシェル構造, 鹿島社, 1977